



fotolia, Gerhard Seybert

Plagiarism: Definition and Detection

Prof. Dr. Debora Weber-Wulff
HTW Berlin

Science – Between Research Ethics and Plagiarism

November 12, 2020 // GRACE@Zoom



htw.

Debora Weber-Wulff

- Professor for Media and Computing, HTW Berlin
- PhD in theoretical computer science
- Plagiarism researcher since 2002, have tested plagiarism detection software since 2004 (newest test just published)
⇒ Software **cannot** detect plagiarism!
- Computing & Ethics working group and fellow of the *Gesellschaft für Informatik*
- Active with the German plagiarism documentation wikis [GuttenPlag Wiki](#) and [VroniPlag Wiki](#) since 2011



Definition: What is Plagiarism?



Charles Robinson, 2008, http://charles.robinsontwins.org/photos/2008/twinsdays/content/IMG1792_large.html
Used by permission.



Definition: What is Plagiarism?

- A **legal** definition does not exist; this is an **educational and integrity** problem.
- Some authors speak of **theft of text**, others about **fraud**.
- A common misconception sees plagiarism only as an issue of **copyright**.
- It is not about giving proper **references** for facts.
- There are quite a number of attempts to define plagiarism in English, but most are more or less: **"We know it when we see it"**¹.

¹ 378 U.S. 184 at 197 (1964)
[<https://supreme.justia.com/cases/federal/us/378/184/case.html#197>,
Justice Stewart concurring]



What is Plagiarism?

Definition Adapted from Teddi Fishman

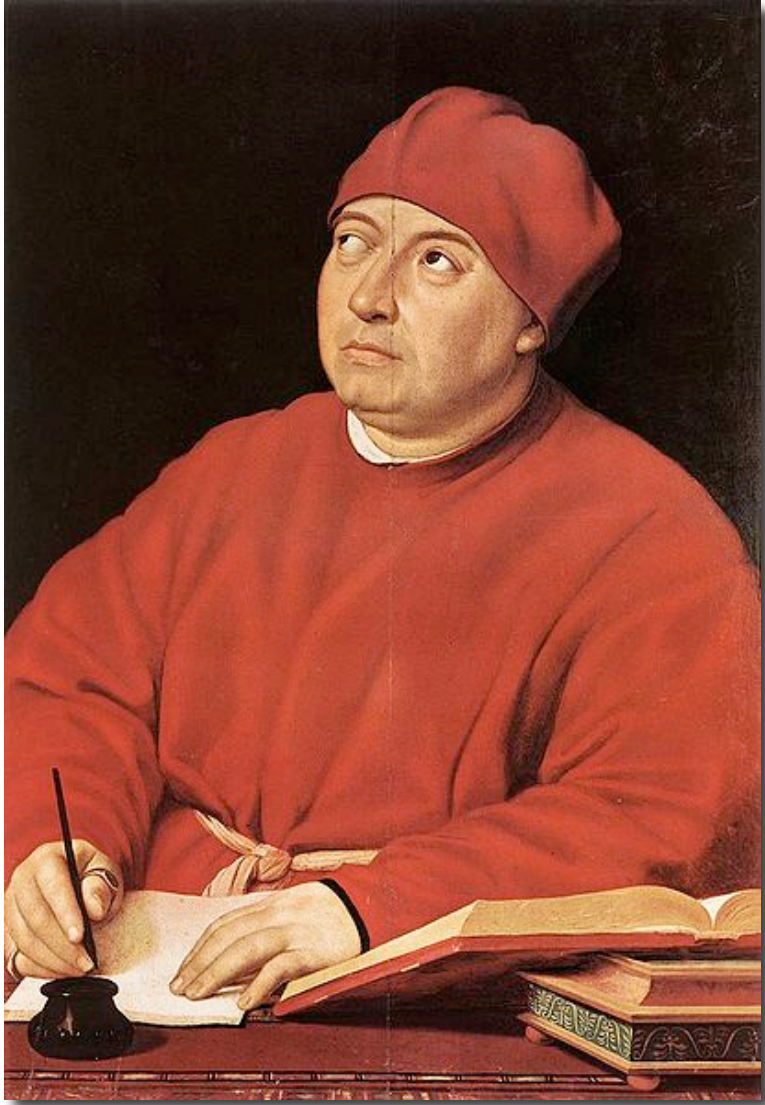
(Former Director International Center for Academic Integrity, ICAI)

- Plagiarism occurs when someone
 - uses words, ideas, or work products
 - attributable to another identifiable person or source
 - without **properly** attributing the work to the source from which it was obtained
 - in a situation in which there is a legitimate expectation of original authorship.

Fishman, T. (2009) "We know it when we see it" is not good enough: toward a standard definition of plagiarism that transcends theft, fraud, and copyright In: Proceedings of the Fourth Asia Pacific Conference on Educational Integrity (4APCEI) 28–30 September 2009 University of Wollongong NSW Australia.



What About Intent?



Portrait of Tommasi Inghirami, Wikimedia Commons



Types of Academic Misconduct

- Plagiarism
 - Copy & Paste
 - Disguised Plagiarism
 - Shake & Paste
 - Translation
 - Pawn Sacrifice
- Other types
 - Image Manipulation
 - Data Fabrication
 - Duplicate Publication



DerHexer, [CC BY-SA 4.0 (<https://creativecommons.org/licenses/by-sa/4.0/>)], via Wikimedia Commons

...



Copy & Paste

[47.] Mmu/Fragment 085 01

KomplettPlagiat

Untersuchte Arbeit:
Seite: 85, Zeilen: 1-14

Quelle: Shchelochkov et al 2009
Seite(n): 1101, Zeilen: l.col: 29 ff.

Farbig

Genomic rearrangements describe mutational changes that alter genome structure (e.g., duplication, deletion, insertion, and inversion). These are different from the traditional mutation caused by Watson–Crick base pair alterations. Each of these rearrangements, excepting inversions, result in copy number variation (CNV) or change from the usual copy number of two for a given genomic segment or genetic locus of our diploid genome. Genomic rearrangements can represent polymorphisms that are neutral in function, or may produce abnormal phenotypes. The pathological conditions caused by genomic rearrangements are collectively defined as genomic disorders (Lupski 1998 and 2009). Due to the limited resolution of conventional cytogenetic techniques, the majority of genomic disorders were missed in the past, because the genomic rearrangements were not cytogenetically visible. However, high-resolution array comparative genomic hybridization (aCGH) techniques have revolutionized the approach to diagnosis of genomic disorders, and enabled the screen of the entire human genome for CNVs.

Genomic rearrangements describe mutational changes that alter genome structure (e.g., duplication, deletion, insertion, and inversion). These are different from the traditional mutation caused by Watson–Crick base pair alterations. Each of these rearrangements, excepting inversions, result in copy number variation (CNV) or change from the usual copy number of two for a given genomic segment or genetic locus of our diploid genome. Genomic rearrangements can represent polymorphisms that are neutral in function, or may produce abnormal phenotypes. The pathological conditions caused by genomic rearrangements are collectively defined as genomic disorders [Lupski, 1998, 2009]. Due to the limited resolution of conventional cytogenetic techniques, the majority of genomic disorders were missed in the past, because the genomic rearrangements were not cytogenetically visible. However, high-resolution array comparative genomic hybridization (aCGH) techniques have revolutionized the approach to diagnosis of genomic disorders, and enabled the screen of the entire human genome for CNVs.

Anmerkungen

The source is not mentioned.



Copy & Paste with Wikipedia links

Wikipedia links copied from source!

Untersuchte Arbeit:	Quelle: Wikipedia cell signaling 2008
Seite: 24, Zeilen: 1-14	Seite(n): 1 (online source), Zeilen: -
<p>[One of the signal transduction] pathways that are activated is called the mitogen-activated protein kinase (MAPK) pathway.</p> <p>The signal transduction component labelled as "MAPK" in the pathway was originally called "ERK," so the pathway is called the MAPK/ERK pathway. The MAPK protein is an enzyme, a protein kinase that can attach phosphate to target proteins such as the transcription factor MYC and, thus, alter gene transcription and, ultimately, cell cycle progression. Many cellular proteins are activated downstream of the growth factor receptors (such as EGFR) that initiate this signal transduction pathway (Fig.1.3.4b). Some signaling transduction pathways respond differently depending on the amount of signaling received by the cell. For instance, the hedgehog protein activates different genes, depending on the amount of hedgehog protein present. Complex multi-component signal transduction pathways provide opportunities for feedback, signal amplification, and interactions inside one cell between multiple signals and signaling pathways.</p>	<p>For example, one of the signal transduction pathways that is activated is called the mitogen-activated protein kinase (MAPK) pathway. The signal transduction component labeled as "MAPK" in the pathway was originally called "ERK" so the pathway is called the MAPK/ERK pathway. The MAPK protein is an enzyme, a protein kinase that can attach phosphate to target proteins such as the transcription factor MYC and thus alter gene transcription and, ultimately, cell cycle progression. Many cellular proteins are activated downstream of the growth factor receptors (such as EGFR) that initiate this signal transduction pathway.</p> <p>Some signaling transduction pathways respond differently depending on the amount of signaling received by the cell. For instance the hedgehog protein activates different genes depending on the amount of hedgehog protein present.</p> <p>Complex multi-component signal transduction pathways provide opportunities for feedback, signal amplification, and interactions inside one cell between multiple signals and signaling pathways.</p>

LMU München, 2010, Medicine, http://de.vroniplag.wikia.com/wiki/Pak/Fragment_024_01



Disguised or Mosaic Plagiarism

- Changing word order in phrases
“Iceland and Greenland” → “Greenland and Iceland”
- Exchanging words with synonyms

“The hypothesis that gained wide acceptance is that the spread of SD probably involves the release and diffusion of the chemical mediators” →

“The hypothesis that gained wide acceptance is that the propagation of SD probably involves the release of different chemical mediators”

http://de.vroniplag.wikia.com/wiki/Amh/Fragment_007_14

- Adding or removing words



Disguised or Mosaic Plagiarism

Verschleierung

Untersuchte Arbeit:
Seite: 61, Zeilen: 1 ff. (completely)

Quelle: Norman 1999
Seite(n): 45, 46, Zeilen: 45: 38 ff.; 46: 1 ff.

Farbig

A retailer stocks inventory from a major manufacturer. For years this retailer has been ordering merchandise from the manufacturer using a human-readable purchase order such as that in Figure 11 for 1000 fuzzy dice. Now fuzzy dice manufacturer is demanding that the retailer begin using EDI for transactions or surcharge will be added to every order to offset the cost of handling manual transactions. The small retailer can't find a more lenient supplier, so it has little choice.

P.O. Number: 003429	
Date: 1 December 1998	
Order Contact: John Johnson	
Company: Internet Retailer Inc.	
Address: 123 Via Way, Milwaukee WI, 53202	

Qty	Part No.	Description	Unit Price	Total
100	CO633	Fuzzy Dice	\$1.23	\$123.00

Figure 11: Plain purchase order

Unfortunately, EDI compliance means that the retailer will now have to transmit its purchase orders in a format specified in one of the several standard sets for EDI format, the most widely used being ANSI X12 and UN/EDIFACT. Figure 12 shows part of an ANSI X12 version of the purchase order in Figure 11.

ST*850*12345
 BEG*00*SA*3429**981201
 N1*BY*Internet Retailer Inc.*91*RET8999
 N1*ST*Internet Retailer Inc.
 N3*123 Via Way
 N4*Milwaukee*WI*53202
 PER*OC*John Johnson
 PO1**100*EA*1.23*WE*MG*CO633
 SE*9*12345

Figure 12: Fragment of ANSI X12 transaction set corresponding to Figure 11

It's possible that the retailer's current accounting software supports EDI transactions, but not likely. It will probably have to either convert to software that [does, purchase software that can make the translation (if available), or contract with a third party to convert the data on an ongoing basis.]

[page 45]

Consider a small, Web-based retailer that stocks inventory from a major manufacturer. For years the company has been ordering merchandise from the manufacturer using a human-readable purchase order such as that in Listing 1, for 1000 fuzzy dice. Now the manufacturer is demanding that the retailer begin using EDI for transactions or else it will add a surcharge to every order to offset the cost of handling manual transactions. The small retailer can't find a more lenient supplier, so it has little choice.

Listing 1: Plain purchase order

P.O. Number: 003429	
Date: 1 December 1998	
Order Contact: John Johnson	
Company: Internet Retailer Inc.	
Address: 123 Via Way, Milwaukee WI, 53202	

Qty	Part No.	Description	Unit Price	Total
100	CO633	Fuzzy Dice	\$1.23	\$123.00

[page 46]

Unfortunately, EDI compliance means the retailer will now have to transmit its purchase orders in a format specified in one of the several standard sets for EDI format, the most widely used being ANSI X12 and UN/EDIFACT. Listing 2 shows part of an ANSI X12 version of the purchase order in Listing 1. It's possible that the retailer's current accounting software supports EDI transactions, but not likely. It will probably have to either convert to software that does, purchase software that can make the translation (if available), or contract with a third party to convert the data on an ongoing basis.

Listing 2: Fragment of ANSI X12 transaction set corresponding to Listing 1

ST*850*12345
 BEG*00*SA*3429**981201
 N1*BY*Internet Retailer Inc.*91*RET8999
 N1*ST*Internet Retailer Inc.
 N3*123 Via Way
 N4*Milwaukee*WI*53202
 PER*OC*John Johnson
 PO1**100*EA*1.23*WE*MG*CO633
 SE*9*12345



Disguised or Mosaic Plagiarism

Verschleierung

Untersuchte Arbeit:

Seite: 36, Zeilen: 1ff. (komplett)

1.1.10. Therapie

Die Therapie des malignen Melanoms richtet sich nach dem jeweils vorliegenden Tumorstadium (Bröcker EB *et al.* 1989).

1.1.10.1. Exzision

Die frühzeitige Exzision des malignen Melanoms stellt die wirksamste Behandlungsmaßnahme zur Vermeidung einer Progression der Erkrankung dar. Bei klinisch eindeutiger Diagnose eines malignen Melanoms wird zur primären Versorgung eine eindeutige Totalexzision mit adäquatem Sicherheitsabstand empfohlen. Von der Kommission „Malignes Melanom der Deutschen Dermatologischen Gesellschaft“ werden folgende Empfehlungen für die Exzision primärer maligner Melanome gegeben: In-situ-Melanome sollen mit einem Sicherheitsabstand von 0,5 cm, Melanome > [sic] 1 mm Tumordicke mit 1 cm Sicherheitsabstand und maligne Melanome mit einer Tumordicke von mehr als 4 mm mit einem Sicherheitsabstand von 2 cm exzidiert werden.

Kann ein Melanom klinisch nicht mit Sicherheit diagnostiziert werden, sollte zunächst eine operative Entfernung in toto ohne Sicherheitsabstand erfolgen. Bei histologischer Bestätigung des Melanomverdachts ist eine Nachexzision (zweizeitige Exzision) mit dem für die Tumordicke nötigen Sicherheitsabstand zu veranlassen. Die Nachexzision sollte so früh wie möglich, spätestens aber 4 Wochen nach dem ersten Eingriff durchgeführt werden. Im Allgemeinen wird für diese operativen Eingriffe die Lokalanästhesie, seltener eine Intubationsnarkose oder eine

Quelle: Eicholt 2004

Seite(n): 16, 17, Zeilen: 16: 4ff; 17: 1

Farbig

1.13 Therapie des malignen Melanoms

Die Therapie des malignen Melanoms richtet sich nach dem jeweils vorliegenden Tumorstadium (33).

1.13.1 Exzision

Die frühzeitige Exzision des malignen Melanoms stellt die wirksamste Behandlungsmaßnahme zur Vermeidung einer Progression der Erkrankung dar. Bei klinisch eindeutiger Diagnose eines malignen Melanoms wird zur primären Versorgung eine einzeitige Totalexzision mit adäquatem Sicherheitsabstand empfohlen. 1994 wurden von der Kommission „Malignes Melanom der Deutschen Dermatologischen Gesellschaft“ folgende Empfehlungen für die Exzision primärer maligner Melanome gegeben: In situ Melanome sollen mit einem Sicherheitsabstand von 0.5 cm, Melanome < 1 mm Tumordicke mit 1 cm Sicherheitsabstand, Melanome mit einer Tumordicke von 1 - 4 mm mit 2 cm Sicherheitsabstand und maligne Melanome mit einer Tumordicke von mehr als 4 mm mit einem weiten Sicherheitsabstand von 3 cm exzidiert werden.

Kann ein Melanom klinisch nicht mit Sicherheit diagnostiziert werden, sollte zunächst eine operative Entfernung in toto ohne Sicherheitsabstand erfolgen. Bei histologischer Bestätigung des Melanomverdachts ist eine Nachexzision (zweizeitige Exzision) mit dem für die Tumordicke nötigen Sicherheitsabstand zu veranlassen. Die Nachexzision sollte so früh wie möglich, spätestens aber 4 Wochen nach dem ersten Eingriff durchgeführt werden. Im Allgemeinen wird für diese operativen Eingriffe

Mosaic Plagiarism in Scientific, “Peer-Reviewed” Publications

Firstly, to determine whether the miR-300 is differentially expressed in human primary gastric cancers, the expression level of the mature miR-300 was examined using real-time PCR in 50 pairs of human gastric cancer tissues and pair-matched adjacent non-cancerous gastric tissues. Our results showed that the expression level of miR-300 was significantly increased in gastric cancer tissues in comparison with the adjacent non-cancerous gastric tissues (Figure 1A). About 72% of tumor samples were higher expressed with miR-300 (Figure 1B). Using $2^{-\Delta\Delta CT}$ values, fold change of miR-300 < 1.0 was considered as low, while > 1.0 was regarded as high expression [18]. miR-300 expression was also evaluated in gastric cancer cell lines and one immortalized normal gastric mucosal epithelial cell line (NS). As shown in Figure 1C, miR-300 was significantly high expression in all cancer cell lines compared with NS. Taken together, these results provide strong evidence that miR-300 was up-regulated in gastric cancer.

Figure 1

Int J Clin Exp Med. 2015; 8(5): 6773–6783.

Firstly, to determine whether the miR-300 is differentially expressed in human primary breast cancers, the expression level of the mature miR-300 was examined using real-time PCR in 50 pairs of human breast cancer tissues and pair-matched adjacent non-cancerous breast tissues. Our results showed that the expression level of miR-300 was significantly increased in breast cancer tissues in comparison with the adjacent non-cancerous breast tissues (Figure 1A). About 72% of tumor samples were higher expressed with miR-300 (Figure 1B). Using $2^{-\Delta\Delta CT}$ values, fold change of miR-300 < 1.0 was considered as low, while > 1.0 was regarded as high expression [18]. miR-300 expression was also evaluated in breast cancer cell lines and one immortalized normal breast mucosal epithelial cell line (NS). As shown in Figure 1C, miR-300 was significantly high expression in all cancer cell lines compared with NS. Taken together, these results provide strong evidence that miR-300 was up-regulated in breast cancer.

Figure 1

Int J Clin Exp Med. 2015; 8(5): 6957–6966.



Shake & Paste

- *Wikipedia*: Wer wird Millionär 2008

Fall von einer aktuellen Entwicklung teilweise überholt. (Die Kandidatin hat die Frage trotzdem problemlos beantwortet und bekam deshalb keine "Entschädigung".)

Gesellschaftlicher Einfluss

Wie auch andere Sendungen mit hohen Einschaltquoten im deutschen Fernsehen hat WWM einen gesamtgesellschaftlichen Einfluss. So haben inzwischen die Begriffe „Telefonjoker“, „Publikumsjoker“ und „Fifty-fifty-Joker“ einen so hohen Bekanntheitsgrad erreicht, dass sie in der 24. Auflage des Duden-Rechtschreibwörterbuchs zu finden sind. Diese Tatsache wurde sogar in einer 125.000-Euro-Frage im Prominentenspecial vom 22. November 2007 thematisiert: „Welcher Begriff schaffte es nicht in die aktuelle, 24. Auflage des Rechtschreibdudens? A: Millionenfrage B: Fifty-fifty-Joker C: Telefonjoker D: Publikumsjoker“ - Anke Engelke war die Kandidatin und beantwortete sie richtig.

- *Bild*, 14 June 2007
- *Der Tagesspiegel*, 14 June 2007
- *Die Welt*, 14 June 2007

Die Kuriosität

Norbert Göckel, ein Kraftfahrer aus Berlin, hatte seinen Job beim Bundestag-Subunternehmen RocVin beinahe verloren, weil er als Kandidat in Günther Jauchs RTL-Quizshow zu viel geplaudert hatte.

Der Bundestags-Chauffeur, hatte auf die Frage Jauchs, ob die höher gestellten Bundestagsabgeordneten oder die Hinterbänkler die freundlicheren Fahrgäste seien, geantwortet: „Wollen Sie eine ehrliche Antwort? Je höher, desto arroganter...“ Dieser Satz hat dem 56-jährigen fast seinen Job gekostet.

Günther Jauch zeigte sich schockiert vom rabiaten Vorgehen gegenüber seinem Quiz-Gast. „Ich habe kein Verständnis dafür, dass Herr Göckel wegen dieser Aussage seinen Job verlieren soll. Ich finde, es muss in unserem Land



Translation

Untersuchte Arbeit:

Seite: 022, Zeilen: 01-09

Quelle: Vahl et al 1992

Seite(n): 255, Zeilen: li. Sp. 34-46

Farbig

[Die] Geschwindigkeit und das Ausmaß des Kraftanstieges nach Vibration wurden analysiert, indem eine Exponentialfunktion an den Kraftanstieg nach Vibration approximiert wurde. Dabei wurde folgende Formel verwendet: $F = T_{ss} - A \cdot e^{-t/\tau}$, (T = Kraft [mN], F_{ss} = Kraftentwicklung im Gleichgewichtszustand [mN], A = Amplitude des Kraftwiederanstieges nach Vibrationsende [mN], t = Zeit nach Vibrationsende [s], τ = Zeitkonstante des Kraftwiederanstieges [s]). Das Ausmaß des Kraftanstieges nach Vibration entspricht der Anzahl der angelagerten Querbrücken, die Zeitkonstante ist mit der Geschwindigkeit der Kraftentwicklung invers korreliert und gibt somit einen Einblick in die Querbrückenkinetik. [Abbildung 2A zeigt eine schematisierte Darstellung ...]

Extent and velocity of postvibration force generation were analyzed by fitting a monoexponential function to the time course of post vibration force recovery with the form: $T = T_{ss} - A \cdot e^{-t/\beta}$ (T = force (mN), T_{ss} =steady-state force after complete force increase (mN), A = amplitude (mN) and β = time constant of the force increase after cessation of vibration (s), t = time after after cessation of vibration (s) (Fig. 2)). The extent of postvibration force recovery (PVFR) is related to the number of attached cross-bridges. The time course of PVFR – characterized by time constants of an exponential function – reflects the actin myosin interaction kinetics (14).

[EN 14]: Klemt. P. U., Peiper B. N., Speden, and E. Zilker: The kinetics of post vibration tension recovery of the isolated rat portal vein: the influence of temperature and calcium, J. Physiol. (London) 312 (1981) 281 – 296]

Anmerkungen

Fortsetzung von [Fragment 021 15](#). Im Wesentlichen enthält die untersuchte Arbeit die gleichen (detaillierten) Informationen wie die Quelle; ein Verweis auf diese fehlt jedoch. Die angegebene Abbildung 2A stimmt mit Figure 2 der Quelle überein (s.o.). Tatsächlich übersieht der Verfasser bei der Übertragung der Formel, ein T des Originals in ein F umzuwandeln. Man beachte: Der Verf. ist lediglich einer von sieben Co-Autoren der Quelle. Da die Quelle nur auf Seite 64 der Dissertation kommentarlos und in anderem Kontext genannt wird, in der Dissertation aber wesentliche Messergebnisse aus ihr übernommen sind, wird die Übernahme als Plagiat eingestuft.

Sichter

Hotznplotz

Heidelberg, 1997, Medicine, http://de.vroniplag.wikia.com/wiki/Awb/Fragment_022_01



Translation

Untersuchte Arbeit: Seite: 022, Zeilen: 01-09	Quelle: Vahl et al 1992 Seite(n): 255, Zeilen: li. Sp. 34-46	Farbig
<p>[Die] Geschwindigkeit und das Ausmaß des Kraftanstieges nach Vibration wurden analysiert, indem eine Exponentialfunktion an den Kraftanstieg nach Vibration approximiert wurde. Dabei wurde folgende Formel verwendet: $F = T_{ss} - A \cdot e^{-t/\tau}$, ($T$ = Kraft [mN], F_{ss} = Kraftentwicklung im Gleichgewichtszustand [mN], A = Amplitude des Kraftwiederanstieges nach Vibrationsende [mN], t = Zeit nach Vibrationsende [s], τ = Zeitkonstante des Kraftwiederanstieges [s]). Das Ausmaß des Kraftanstieges nach Vibration entspricht der Anzahl der angelagerten Querbrücken, die Zeitkonstante ist mit der Geschwindigkeit der Kraftentwicklung invers korreliert und gibt somit einen Einblick in die Querbrückenkinetik. [Abbildung 2A zeigt eine schematisierte Darstellung ...]</p>	<p>Extent and velocity of postvibration force generation were analyzed by fitting a monoexponential function to the time course of post vibration force recovery with the form: $T = T_{ss} - A \cdot e^{-t/\beta}$ (T = force (mN), T_{ss}=steady-state force after complete force increase (mN), A = amplitude (mN) and β = time constant of the force increase after cessation of vibration (s), t = time after after cessation of vibration (s) (Fig. 2)). The extent of postvibration force recovery (PVFR) is related to the number of attached cross-bridges. The time course of PVFR – characterized by time constants of an exponential function – reflects the actin myosin interaction kinetics (14).</p> <p>[EN 14]: Klemt. P. U., Peiper B. N., Speden, and E. Zilker: The kinetics of post vibration tension recovery of the isolated rat portal vein: the influence of temperature and calcium, J. Physiol. (London) 312 (1981) 281 – 296]</p>	
Anmerkungen	Sichter	
Fortsetzung von Fragment 021 15 . Im Wesentlichen enthält die untersuchte Arbeit die gleichen (detaillierten) Informationen wie die Quelle; ein Verweis auf diese fehlt jedoch. Die angegebene Abbildung 2A stimmt mit Figure 2 der Quelle überein (s.o.). Tatsächlich übersieht der Verfasser bei der Übertragung der Formel, ein T des Originals in ein F umzuwandeln. Man beachte: Der Verf. ist lediglich einer von sieben Co-Autoren der Quelle. Da die Quelle nur auf Seite 64 der Dissertation kommentarlos und in anderem Kontext genannt wird, in der Dissertation aber wesentliche Messergebnisse aus ihr übernommen sind, wird die Übernahme als Plagiat eingestuft.	Hotznplotz	

Heidelberg, 1997, Medicine, http://de.vroniplag.wikia.com/wiki/Awb/Fragment_022_01



Translation

Untersuchte Arbeit: Seite: 022, Zeilen: 01-09	Quelle: Vahl et al 1992 Seite(n): 255, Zeilen: li. Sp. 34-46	Farbig
<p>[Die] Geschwindigkeit und das Ausmaß des Kraftanstieges nach Vibration wurden analysiert, indem eine Exponentialfunktion an den Kraftanstieg nach Vibration approximiert wurde. Dabei wurde folgende Formel verwendet: $F = T_{ss} - A \cdot e^{-t/\tau}$, (T = Kraft [mN], T_{ss} = Kraftentwicklung im Gleichgewichtszustand [mN], A = Amplitude des Kraftwiederanstieges nach Vibrationsende [mN], t = Zeit nach Vibrationsende [s], τ = Zeitkonstante des Kraftwiederanstieges [s]). Das Ausmaß des Kraftanstieges nach Vibration entspricht der Anzahl der angelagerten Querbrücken, die Zeitkonstante ist mit der Geschwindigkeit der Kraftentwicklung invers korreliert und gibt somit einen Einblick in die Querbrückenkinetik. [Abbildung 2A zeigt eine schematisierte Darstellung ...]</p>	<p>Extent and velocity of postvibration force generation were analyzed by fitting a monoexponential function to the time course of post vibration force recovery with the form: $T = T_{ss} - A \cdot e^{-t/\beta}$ (T = force (mN), T_{ss}=steady-state force after complete force increase (mN), A = amplitude (mN) and β = time constant of the force increase after cessation of vibration (s), t = time after after cessation of vibration (s) (Fig. 2)). The extent of postvibration force recovery (PVFR) is related to the number of attached cross-bridges. The time course of PVFR – characterized by time constants of an exponential function – reflects the actin myosin interaction kinetics (14).</p> <p>[EN 14]: Klemt. P. U., Peiper B. N., Speden, and E. Zilker: The kinetics of post vibration tension recovery of the isolated rat portal vein: the influence of temperature and calcium, J. Physiol. (London) 312 (1981) 281 – 296]</p>	
Anmerkungen	Sichter	
Fortsetzung von Fragment 021 15 . Im Wesentlichen enthält die untersuchte Arbeit die gleichen (detaillierten) Informationen wie die Quelle; ein Verweis auf diese fehlt jedoch. Die angegebene Abbildung 2A stimmt mit Figure 2 der Quelle überein (s.o.). Tatsächlich übersieht der Verfasser bei der Übertragung der Formel, ein T des Originals in ein F umzuwandeln. Man beachte: Der Verf. ist lediglich einer von sieben Co-Autoren der Quelle. Da die Quelle nur auf Seite 64 der Dissertation kommentarlos und in anderem Kontext genannt wird, in der Dissertation aber wesentliche Messergebnisse aus ihr übernommen sind, wird die Übernahme als Plagiat eingestuft.	Hotznplotz	

Heidelberg, 1997, Medicine, http://de.vroniplag.wikia.com/wiki/Awb/Fragment_022_01



Translation

Typus	Bearbeiter	Gesichtet
ÜbersetzungsPlagiat	Polemix, Hindemith	✓

Untersuchte Arbeit:	Quelle: Mallig 2006
Seite: 36, Zeilen: 55-70	Seite(n): 58, 59, 76, Zeilen: 58: 24ff; 59: 1ff; 76: figure

Farbig

Experiment Group	Score 0 (%)	Score 1 (%)	Score 2 (%)
CCI	0	80	20
Fx-Shock	20	70	10
Poly	10	60	30

Fig. 1. The percentages of the varying severities of the interstitial pulmonary edema in the different experiment groups ("without noticeable results" (0), "minimal change" (1), or "middle to high degree of change" (2)).

2.6. Analysis of the histology

These slices were examined with a light-optical microscope (Microscope BX51TF, Olympus, Tokyo, Japan) and evaluated semiquantitatively. Magnification of 100 and 200 times was used regularly. The evaluation of the histological slices of lung, liver, spleen and kidney is based on an evaluation scale, which uses a score from 0 to 2 to assign the following statements about the degree of the variances of the examined characteristics: "without noticeable results" (0), "minimal change" (1), or "middle to high degree of change" (2). The features which are only grouped in two categories, are assigned the score of 0 or 1. They are either categorized using the assessment of the spleen's

4.4.3 Auswertung der histologischen Präparate

Die für die histologische Auswertung angefertigten und mit Hämatoxylin und Eosin gefärbten Präparate der Organe (Lunge, Leber, Milz, Niere) wurden lichtmikroskopisch (Mikroskop BX51TF, Olympus, Tokyo, Japan) untersucht und semiquantitativ ausgewertet. Dazu wurden je nach zu bewertendem Kriterium 100- oder 200-fache bzw. für Detailansichten bis zu 1.000-fache Vergrößerungen eingesetzt. Die auf den histologischen Schnitten basierende Beurteilung erfolgte

[page 59]

nach einem Bewertungsschema (Scoringsystem), bei dem je nach Ausprägung eines Merkmals ein Zahlenwert (Score) von 0 bis 2 bei folgenden Aussagen über den Grad der Veränderungen des zu untersuchenden Merkmals vergeben wurde: „ohne besonderen Befund“ (0), „geringgradige Veränderungen“ (1) oder „mittel- bis hochgradige Veränderungen“ (2). Bei Merkmalen, die nur in zwei Kategorien eingeteilt wurden, wurde der Score 0 und 1 vergeben, wobei sich dieser entweder, wie bei der Beurteilung der Abgrenzung der weißen zur roten Pulpa der

16 / 34

MH Hannover, med.habil., 2015, http://de.vroniplag.wikia.com/wiki/Mjm/Fragment_036_55

Translatio

Typus

ÜbersetzungsPlagiat

Unters
Seite: 36

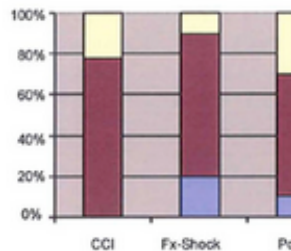


Fig. 1. The percentages of the varying severities of the interstitial lung edema in the different experiment groups ("without noticeable change" (0), "minimal change" (1), or "middle to high degree of change" (2)).

2.6. Analysis of the histology

These slices were examined with a light microscope (Microscope BX51TF, Olympus) and evaluated semiquantitatively. Magnification was used regularly. The evaluation was performed on lung, liver, spleen and kidney. The evaluation scale, which uses a score from 0 to 2, is as follows: 0 = no edema, 1 = minimal change, 2 = middle to high degree of change. The features were either categorized using the

the examined characteristics: "without noticeable results" (0), "minimal change" (1), or "middle to high degree of change" (2). The features which are only grouped in two categories, are assigned the score of 0 or 1. They are either categorized using the assessment of the spleen's white to red pulp ["yes" (0, classifiable), or "no" (1, not classifiable)], or by the assessment of the abundance of the spleen's white pulp and the kidney's glomerulus "normal filled" (0) or "sparsely filled" (1). The assigned number could then be used for statistical evaluation.

Befund (0), „geringgradige Veränderungen“ (1) oder „mittel- bis hochgradige Veränderungen“ (2). Bei Merkmalen, die nur in zwei Kategorien eingeteilt wurden, wurde der Score 0 und 1 vergeben, wobei sich dieser entweder, wie bei der Beurteilung der Abgrenzung der weißen zur roten Pulpa der Milz, auf die Aussage „ja“ (0, abgrenzbar) oder „nein“ (1, keine Abgrenzung) bezog oder bei der Bewertung der Fülle der weißen Pulpa der Milz bzw. der Glomeruli der Niere auf „normal gefüllt“ (0) und „wenig gefüllt“ (1). Die vergebenen Zahlenwerte konnten anschließend zur statistischen Auswertung verwendet werden.

[page 76]

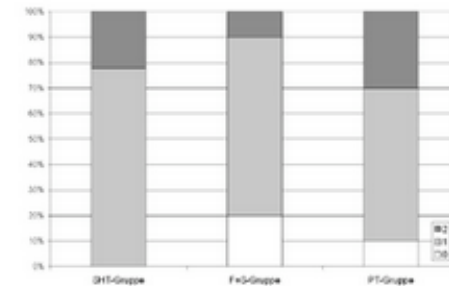


Abbildung 14: Interstitielles Lungenödem. Dargestellt sind die prozentualen Anteile folgender Bewertungskategorien bezüglich des Lungenödems pro Versuchsgruppe: 0 = ohne besonderen Befund, 1 = geringgradige Veränderungen, 2 = mittel- bis hochgradige Veränderungen; SHI = Schädelhirntrauma (n = 9), Fx+S = Fraktur und Schock (n = 10), PT = Polyzystoma (n = 10)

Anmerkungen

The same results are presented, although Mallig (2006) is not mentioned anywhere and although a different population of experimental mice must have been used:

According to the source, n=9 for the CCI group and n=10 for the Fx-Shock group as well as the Poly group. This is consistent with the figures, in particular the approx. 70% result for the Poly group.

In the paper, however, it is claimed that n=18 for the CCI group and the Fx-Shock group as well as n=15 for the Poly group (see abstract), which is not consistent with the approx. 70% result for the Poly group.

Sichter

(Hindemith)
Schumann

Pawn Sacrifice

Untersuchte Arbeit:

Seite: 8, Zeilen: 9-14

Aufgrund struktureller Ähnlichkeit lassen sich die einzelnen TRP-Kanalproteine sieben Familien zuordnen (Tab. 1.1): Der TRPC („Canonical“-Familie, der TRPV („Vanilloid“-Familie, der TRPM („Melastatin“-Familie, der TRPP („Polycystin“-Familie, der TRPML („Mucolipin“-Familie, der TRPA („Ankyrin“-Familie und der TRPN („NOMPC“-Familie. In Geweben von Säugern existieren Mitglieder aller Familien mit Ausnahme von TRPN.

TRP-Familie	Fliege	Wurm	Seescheide	Fisch	Maus	Mensch
TRPC	3	3	3	3	7	6
TRPV	2	5	2	4	6	6
TRPM	1	4	2	6	8	8
TRPA	4	2	4	1	1	1
TRPN	1	1	1	-	-	-
TRPP	4	2	9	2	3	3
TRPML	1	1	1	4	3	3
gesamt	26	27	27	25	38	27

Tab. 1.1: Die sieben TRP-Genfamilien mit Angabe der Zahl ihrer (publizierten) Mitglieder. In Hefe (*Saccharomyces cerevisiae*) wurde ein TRP-verwandtes Gen identifiziert, das aber keiner der sieben Familien zuzuordnen ist. Das TRPC2-Gen ist beim Menschen ein Pseudogen, weshalb die TRPC-Familie vom Mensch lediglich sechs, die von der Maus aber sieben Mitglieder umfasst (TRPC1 bis TRPC7). Die aufgeführten Gene wurden bisher in den Genomen von *Drosophila melanogaster* (Fliege), *Caenorhabditis elegans* (Wurm), *Ciona intestinalis* (Seescheide) bzw. *Fugu rubripes* (Kugelfisch) identifiziert. Anders als in *Fugu* wurden in *Danio rerio* (Zebrafisch) bisher zwei Mitglieder von TRPA und ein Mitglied von TRPN identifiziert (Flockerzi & Wissenbach, 2005).

Quelle: Flockerzi und Wissenbach 2005

Seite(n): 620, 621, Zeilen: 620: 2. Spalte: 1ff; 621: Tabelle

Aufgrund struktureller Ähnlichkeit lassen sich die einzelnen TRP-Kanalproteine sieben Familien zuordnen (Tab 1): Der TRPC („canonical“-Familie, der TRPV („Vanilloid“-Familie, der TRPM („Melastatin“-Familie, der TRPP („Polycystin“-Familie, der TRPML („Mucolipin“-Familie, der TRPA („Ankyrin“-Familie und der TRPN („NOMPC“-Familie. In Geweben von Säugern existieren Mitglieder aller Familien mit Ausnahme von TRPN.

[Seite 621]

Tab. 1: Die sieben TRP-Genfamilien mit Angabe der Zahl ihrer (publizierten) Mitglieder. In Hefe (*Saccharomyces cerevisiae*) wurde ein TRP-verwandtes Gen identifiziert, das aber keiner der sieben Familien zuzuordnen ist. Das TRPC2-Gen ist beim Menschen ein Pseudogen, weshalb die TRPC-Familie vom Mensch lediglich sechs, die von der Maus aber sieben Mitglieder umfasst (TRPC1 bis TRPC7). Die aufgeführten Gene wurden bisher in den Genomen von *Drosophila melanogaster* (Fliege), *Caenorhabditis elegans* (Wurm), *Ciona intestinalis* (Seescheide) bzw. *Fugu rubripes* (Fisch) identifiziert. Anders als in *Fugu* wurden in *Danio rerio* (Zebrafisch) bisher zwei Mitglieder von TRPA und ein Mitglied von TRPN identifiziert.

TRP-Familie	Fliege	Wurm	Seescheide	Fisch	Maus	Mensch
TRPC	3	3	3	3	7	6
TRPV	2	5	2	4	6	6
TRPM	1	4	2	6	8	8
TRPA	4	2	4	1	1	1
TRPN	1	1	1	-	-	-
TRPP	4	2	9	2	3	3
TRPML	1	1	1	4	3	3
gesamt	26	27	27	25	38	27

Image Manipulation

Untersuchte Arbeit:
Seite: 28, Zeilen: Abb. 6

Quelle: **Stachniss_2003**
Seite(n): Online, Zeilen: -

Farbig

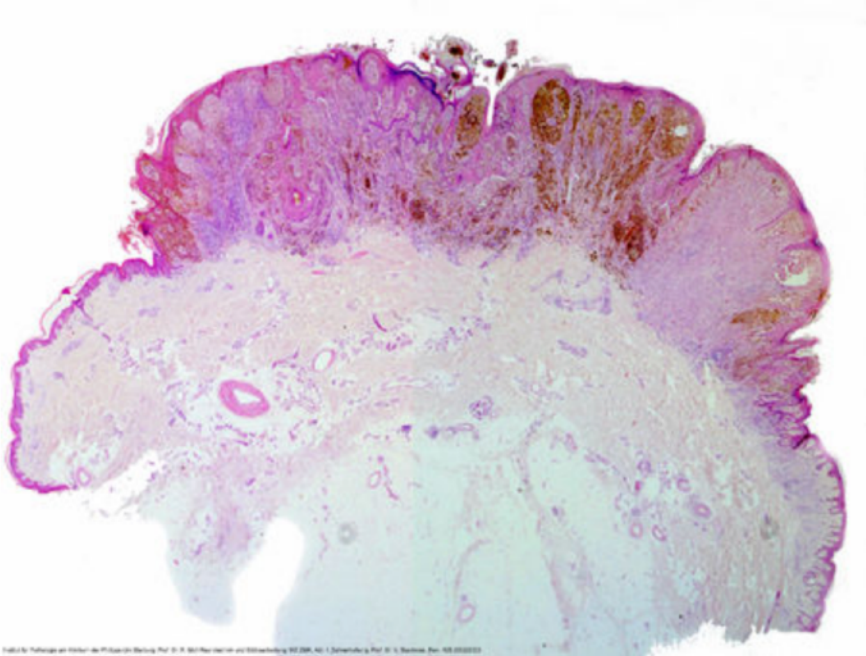
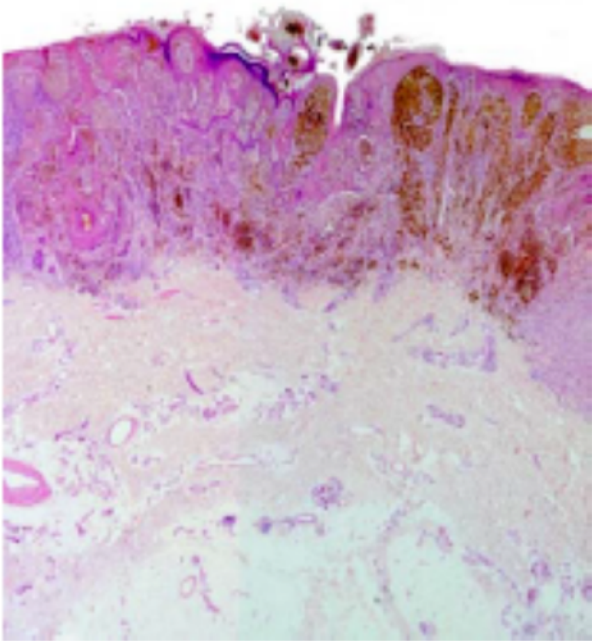
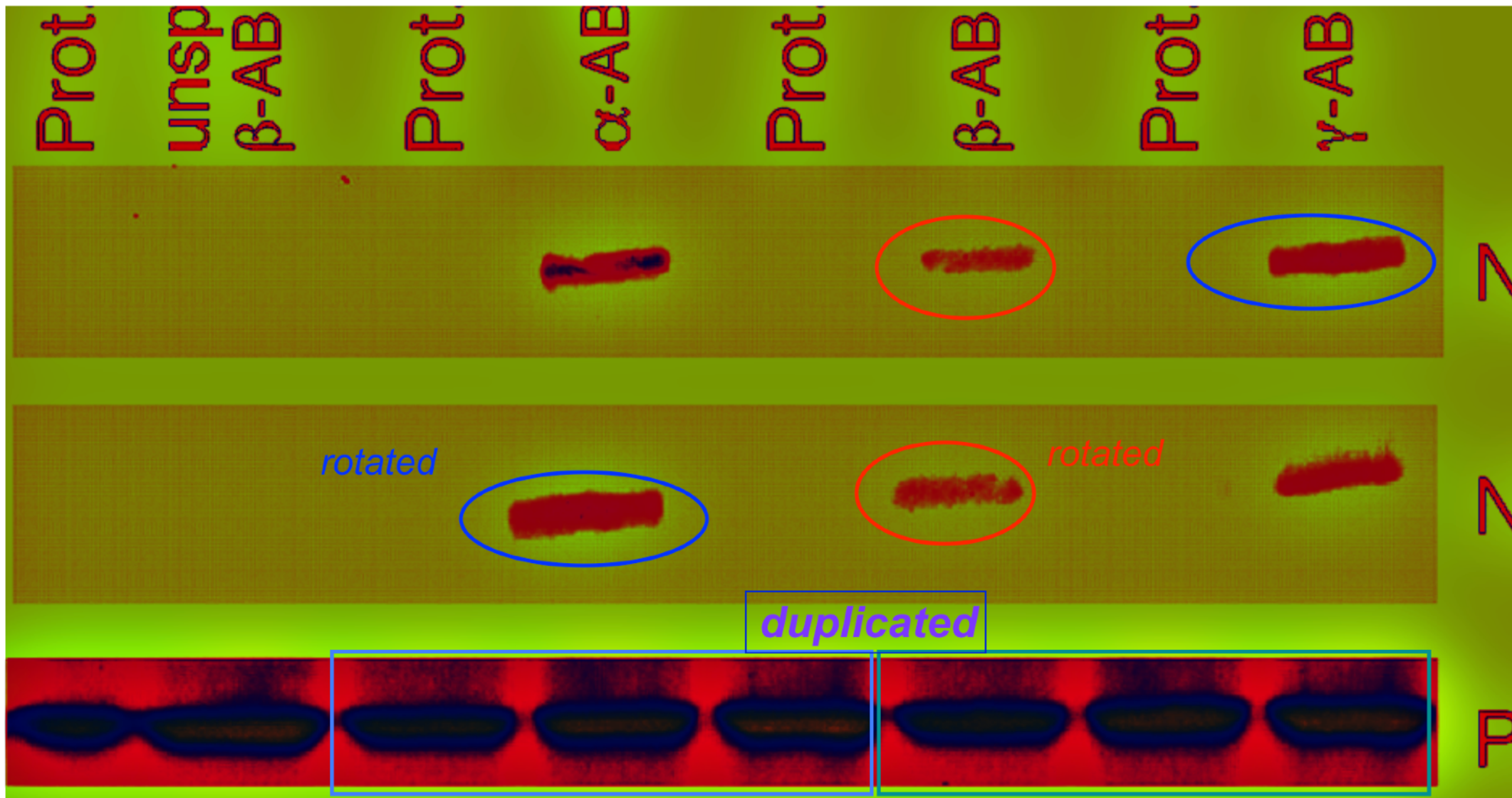


Abbildung 6. Histologie des malignen Melanoms

TU München, med., http://de.vroniplag.wikia.com/wiki/Vm/Fragment_028_00



Example of a Manipulated Blot from an Online Journal



Plagiarism AND Data Fabrication

[24.] Ali/Fragment 024 01

Verschleierung

Untersuchte Arbeit:

Seite: 24, Zeilen: 1ff. (komplett)

Quelle: Mansour 2008

Seite(n): 23-24, Zeilen: 23:16ff; 24:1ff

Farbig

4.1.2 Die Vergleichsanalysen

In den folgenden Vergleichsanalysen ist der Einfluss jeweils eines Faktors als Kaplan-Meier-Analyse oder mehrerer Faktoren als Cox-Regression auf das PSA-freie Überleben untersucht worden. Diese Analysen wurden bei 669 von 700 Patienten (93,8%) durchgeführt. Als Zeitvariable in der Kaplan-Meier-Analyse galt bei Patienten mit PSA-Progress der Abstand zwischen OP-Datum und initialem PSA-Anstieg, bei Patienten mit PSA-freiem Überleben der Abstand zwischen OP-Datum und der letzten aktuellen PSA-Messung. Bei der tabellarischen Darstellung (Tab. 3) wird die mittlere geschätzte Dauer bis zum initialen PSA-Progress durch den Mittelwert angegeben. Der Mittelwert gibt somit auf Grundlage aller 669 Datensätze die erwartete Zeit p.o. bis zum PSA-Versagen für jedes pT-Stadium und jeden p.o. Monat an. Der längste Beobachtungszeitraum ohne PSA-Progress ist hier als Maximalwert definiert. In der graphischen Darstellung (Abb. 2) ist über die Zeit die kumulative Rate der erwarteten Fälle mit PSA-freiem Überleben nach pT-Stadien als Anteil von 1

4.1.2 Die Vergleichsanalysen

In den folgenden Vergleichsanalysen ist der Einfluß jeweils eines Faktors als Kaplan-Meier-Analyse oder mehrerer Faktoren als Cox-Regression auf das PSA-freie Überleben untersucht worden. Diese Analysen wurden bei 938 von 1000 Patienten (93,8%) durchgeführt. Als Zeitvariable in der Kaplan-Meier-Analyse galt bei Patienten mit PSA-Progress der Abstand zwischen OP-Datum und initialem PSA-Anstieg, bei Patienten mit PSA-freiem Überleben der Abstand zwischen OP-Datum und der letzten aktuellen PSA-Messung.

[Seite 24]

Bei der tabellarischen Darstellung (Tab. 4 und folgende bis Tab. 10) wird die mittlere geschätzte Dauer bis zum initialen PSA-Progress durch den Mittelwert angegeben. Der Mittelwert gibt somit auf Grundlage aller 938 Datensätze die erwartete Zeit p.o. bis zum PSA-Versagen für jedes pT-Stadium und jeden p.o. Monat an. Der längste Beobachtungszeitraum

Charité, 2010, Medicine, http://de.vroniplag.wikia.com/wiki/Ali/Fragment_024_01



Plagiarism AND Data Fabrication

Different values

[24.] Ali/Fragment 024 01

Verschleierung

Untersuchte Arbeit: Seite: 24, Zeilen: 1ff. (komplett)	Quelle: Mansour 2008 Seite(n): 23-24, Zeilen: 23:16ff; 24:1ff	Farbig
--	---	--------

4.1.2 Die Vergleichsanalysen

In den folgenden Vergleichsanalysen ist der Einfluss jeweils eines Faktors als Kaplan-Meier-Analyse oder mehrerer Faktoren als Cox-Regression auf das PSA-freie Überleben untersucht worden. Diese Analysen wurden bei 669 von 700 Patienten (93,8%) durchgeführt. Als Zeitvariable in der Kaplan-Meier-Analyse galt bei Patienten mit PSA-Progress der Abstand zwischen OP-Datum und initialem PSA-Anstieg, bei Patienten mit PSA-freiem Überleben der Abstand zwischen OP-Datum und der letzten aktuellen PSA-Messung. Bei der tabellarischen Darstellung (Tab. 3) wird die mittlere geschätzte Dauer bis zum initialen PSA-Progress durch den Mittelwert angegeben. Der Mittelwert gibt somit auf Grundlage aller 669 Datensätze die erwartete Zeit p.o. bis zum PSA-Versagen für jedes pT-Stadium und jeden p.o. Monat an. Der längste Beobachtungszeitraum ohne PSA-Progress ist hier als Maximalwert definiert. In der graphischen Darstellung (Abb. 2) ist über die Zeit die kumulative Rate der erwarteten Fälle mit PSA-freiem Überleben nach pT-Stadien als Anteil von 1

4.1.2 Die Vergleichsanalysen

In den folgenden Vergleichsanalysen ist der Einfluß jeweils eines Faktors als Kaplan-Meier-Analyse oder mehrerer Faktoren als Cox-Regression auf das PSA-freie Überleben untersucht worden. Diese Analysen wurden bei 938 von 1000 Patienten (93,8%) durchgeführt. Als Zeitvariable in der Kaplan-Meier-Analyse galt bei Patienten mit PSA-Progress der Abstand zwischen OP-Datum und initialem PSA-Anstieg, bei Patienten mit PSA-freiem Überleben der Abstand zwischen OP-Datum und der letzten aktuellen PSA-Messung.

[Seite 24]

Bei der tabellarischen Darstellung (Tab. 4 und folgende bis Tab. 10) wird die mittlere geschätzte Dauer bis zum initialen PSA-Progress durch den Mittelwert angegeben. Der Mittelwert gibt somit auf Grundlage aller 938 Datensätze die erwartete Zeit p.o. bis zum PSA-Versagen für jedes pT-Stadium und jeden p.o. Monat an. Der längste Beobachtungszeitraum

Charité, 2010, Medicine, http://de.vroniplag.wikia.com/wiki/Ali/Fragment_024_01



Plagiarism AND Data Fabrication

Different values

Same percentages!

[24.] Ali/Fragment 024 01

Verschleierung

Untersuchte Arbeit: Seite: 24, Zeilen: 1ff. (komplett)

Quelle: Mansour 2008 Seite(n): 23-24, Zeilen: 23:16ff; 24:1ff

Farbig

4.1.2 Die Vergleichsanalysen

In den folgenden Vergleichsanalysen ist der Einfluss jeweils eines Faktors als Kaplan-Meier-Analyse oder mehrerer Faktoren als Cox-Regression auf das PSA-freie Überleben untersucht worden. Diese Analysen wurden bei 669 von 700 Patienten (93,8%) durchgeführt. Als Zeitvariable in der Kaplan-Meier-Analyse galt bei Patienten mit PSA-Progress der Abstand zwischen OP-Datum und initialem PSA-Anstieg, bei Patienten mit PSA-freiem Überleben der Abstand zwischen OP-Datum und der letzten aktuellen PSA-Messung. Bei der tabellarischen Darstellung (Tab. 3) wird die mittlere geschätzte Dauer bis zum initialen PSA-Progress durch den Mittelwert angegeben. Der Mittelwert gibt somit auf Grundlage aller 669 Datensätze die erwartete Zeit p.o. bis zum PSA-Versagen für jedes pT-Stadium und jeden p.o. Monat an. Der längste Beobachtungszeitraum ohne PSA-Progress ist hier als Maximalwert definiert. In der graphischen Darstellung (Abb. 2) ist über die Zeit die kumulative Rate der erwarteten Fälle mit PSA-freiem Überleben nach pT-Stadien als Anteil von 1

4.1.2 Die Vergleichsanalysen

In den folgenden Vergleichsanalysen ist der Einfluß jeweils eines Faktors als Kaplan-Meier-Analyse oder mehrerer Faktoren als Cox-Regression auf das PSA-freie Überleben untersucht worden. Diese Analysen wurden bei 938 von 1000 Patienten (93,8%) durchgeführt. Als Zeitvariable in der Kaplan-Meier-Analyse galt bei Patienten mit PSA-Progress der Abstand zwischen OP-Datum und initialem PSA-Anstieg, bei Patienten mit PSA-freiem Überleben der Abstand zwischen OP-Datum und der letzten aktuellen PSA-Messung.

[Seite 24]

Bei der tabellarischen Darstellung (Tab. 4 und folgende bis Tab. 10) wird die mittlere geschätzte Dauer bis zum initialen PSA-Progress durch den Mittelwert angegeben. Der Mittelwert gibt somit auf Grundlage aller 938 Datensätze die erwartete Zeit p.o. bis zum PSA-Versagen für jedes pT-Stadium und jeden p.o. Monat an. Der längste Beobachtungszeitraum

Charité, 2010, Medicine, http://de.vroniplag.wikia.com/wiki/Ali/Fragment_024_01



Detecting Plagiarism

- Teachers, researchers, and administrators want a simple solution



Photo: Flickr cc-by-nc-sa: xtrarant, 2008
Art Installation: Jamie Pawlus, Indianapolis, Indiana, 2003



There are many companies willing to oblige



Welcome to CatchItFirst.com!

The most advanced online plagiarism detection service.



The sales pitches promise the moon

- "Advanced online plagiarism detection" (CatchItFirst)
- "Originality check" (Turnitin)
- "Student work is instantly checked for potential plagiarism using pattern recognition algorithms." (Turnitin)
- "Easy, quick and accurate" (Ephorus)
- "Based on the latest research in computer linguistics" (PlagScan)
- "Verification of originality" (StrikePlagiarism)
- "Plagiarism prevention that simply works" (Urkund)



Luc Viatour, CC BY-SA 3.0, via Wikimedia Commons



European Network for Academic Integrity: Testing of support tools for plagiarism detection

Research article | [Open Access](#) | Published: 27 July 2020

Testing of support tools for plagiarism detection

[Tomáš Foltýnek](#) , [Dita Dlabolová](#), [Alla Anohina-Naumeca](#), [Salim Razi](#), [Július Kravjar](#), [Laima Kamzola](#), [Jean Guerrero-Dib](#), [Özgür Çelik](#) & [Debora Weber-Wulff](#)

International Journal of Educational Technology in Higher Education **17**, Article number: 46
(2020) | [Cite this article](#)

3203 Accesses | **22** Altmetric | [Metrics](#)

<https://link.springer.com/article/10.1186/s41239-020-00192-4>



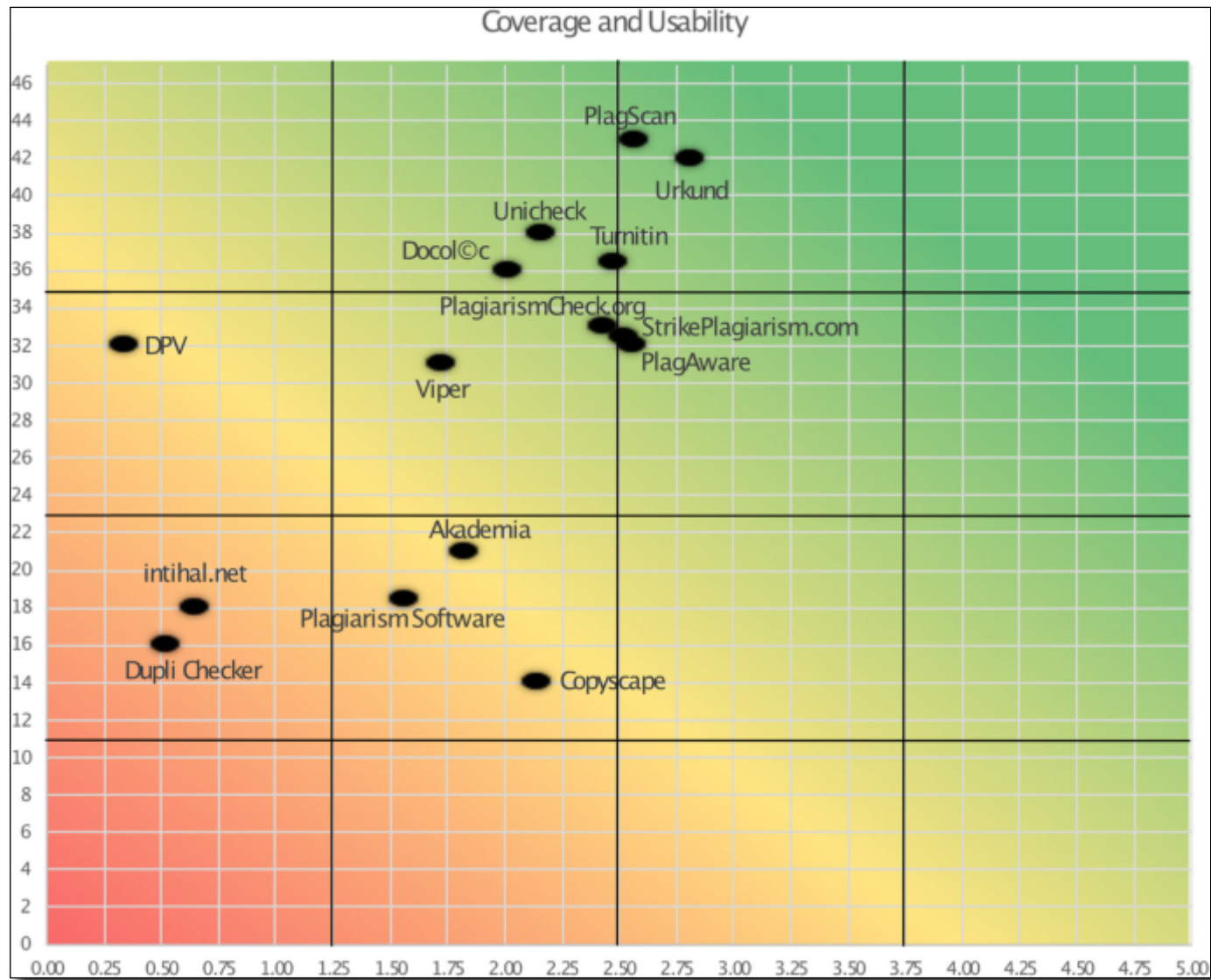
Test of 15 web-based text-matching systems in eight languages

Tool	URL
Akademia	paneli.akademia.al
Copyscape	www.copyscape.com
Docol@c	www.docoloc.de
DPV	dpv.openscience.si
Dupli Checker	duplichecker.com
intihal.net	intihal.net
PlagAware	plagaware.com
Plagiarism Software	www.plagiarismsoftware.net
PlagiarismCheck.org	plagiarismcheck.org
PlagScan	www.plagscan.com
StrikePlagiarism.com	panel.strikeplagiarism.com
Turnitin	www.turnitin.com
Unicheck	unicheck.com
Urkund	www.orkund.com
Viper	www.scanmyessay.com

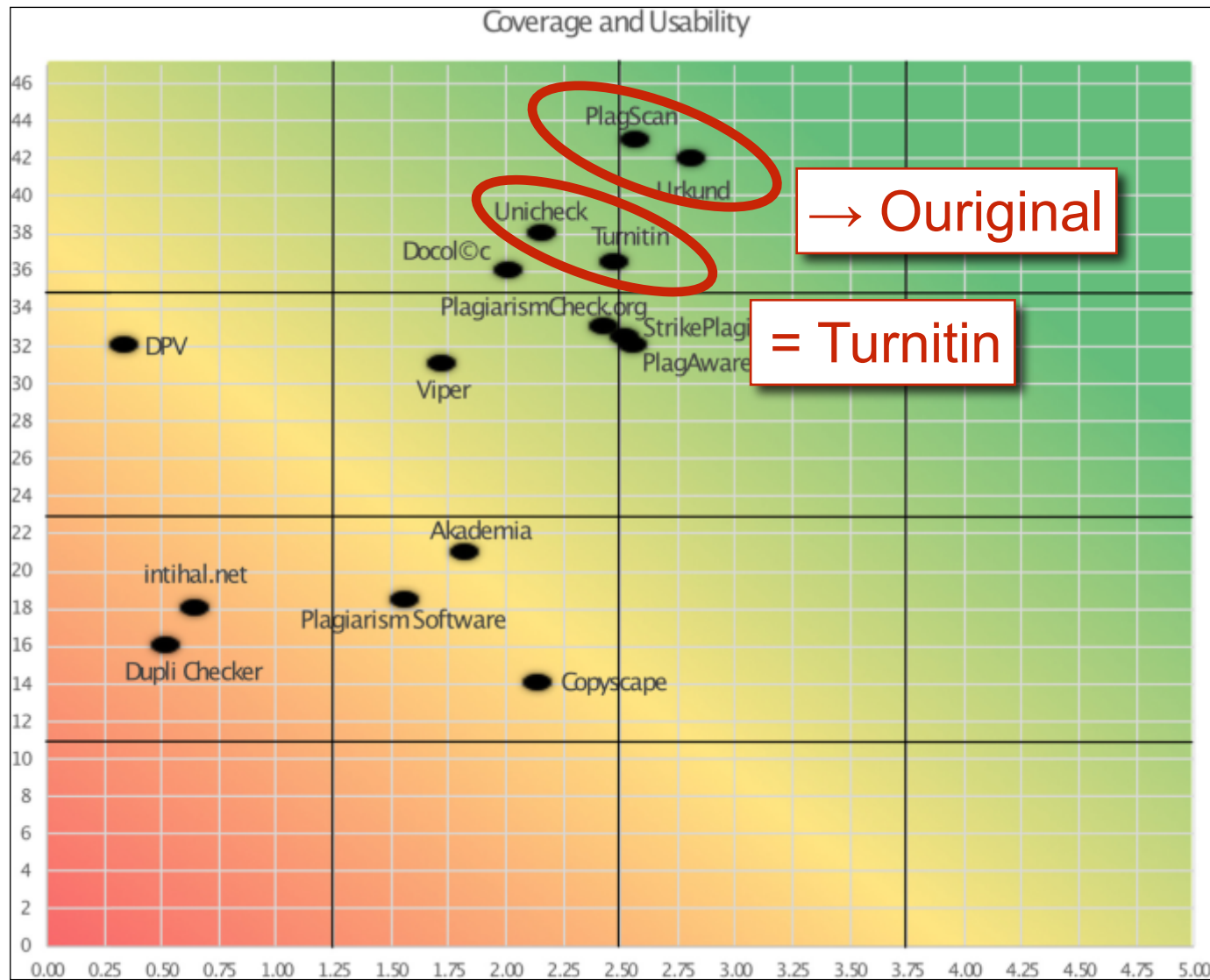
- Czech
- English
- German
- Italian
- Latvian
- Slovakian
- Spanish
- Turkish



Coverage vs. Usability



Coverage vs. Usability



Such software is mostly snake oil

- False positives
- False negatives
- The companies sometimes violate student's copyrights.
- Reports are often very hard to interpret.
- The numbers reported are generally meaningless.



Snake Oil, Macau 2015,
Debora Weber-Wulff
CC-BY-SA



So do I have to look myself? Sure! But you have to read the text

- The text is nicely written but ...
- ... it is stylistically above the level of the writer.
- Strange formatting
- Typos
- Abrupt style changes
- Odd words
- Embedded links



Flickr, cc-by-nc-nd, t_buchtele, 2009



Not just dissertations, published articles may also contain hidden links pointing to a source

Liberal feminism is an individualistic form of feminism and theory, which focuses on women's ability to prove and maintain their equality through their own actions and choices. Liberal feminists believe that biological sex should not be the only factor that defines the social identity or socio-political or economic rights of a person. Their women's liberation movement revolves around the equality of sexes, and thus, liberal feminists seek to achieve the equality of men and women through political and legal reform. Liberal feminism looks at personal interactions between men and women as the starting point from which to transform the society into a more gender-equitable place. According to liberal feminists, all women are capable of demonstrating their ability to achieve equality and working to attain it, therefore, change may happen without changing the structure of society. Issues of concern to liberal feminists include sexual harassment, reproductive and abortion rights, voting, and education (hooks, 1984).

Simorangkir, D. N. (2010). The Feminization of Public Relations in Indonesia: Role Expectations and Prejudices. *International Journal of Arts and Sciences*, 3(15), 71-89.



Searching with Google & Co

- Three to five nouns
- Enclose a phrase in " ... "
- The typo
- Phrases from an often referenced source
- Don't only look at the first page
- Set a time limit

Flickr, cc-by-nc-nd, Athena1970, 2008



Less is more

- Three to five words suffice



The image shows a screenshot of a Google search interface. At the top left is the Google logo. To its right are navigation links: Web, Images, Groups, News, Froogle, Local, and more ». Below these is a search bar containing the text 'Geßner Gattungsbegriff Idyllendarstellung'. To the right of the search bar is a 'Search' button and links for 'Advanced Search' and 'Preferences'. Below the search bar, the word 'Web' is displayed on the left, and 'Results 1 - 1 of 1 for 0' is on the right. The search result is a link to 'Hausarbeiten.de: Gestörte Idylle am Beispiel des Textes "Der ... - [Translate this page]'. Below the link is a snippet of text: '... Idylle am Beispiel des Textes "Der zerbrochene Krug" von Salomon Geßner. ... Im ersten Teil der Arbeit soll der **Gattungsbegriff** "Idylle" definiert ...'. At the bottom of the snippet is the URL 'www.hausarbeiten.de/faecher/vorschau/21748.html - Similar pages'.



Less is more

- Three to five words suffice

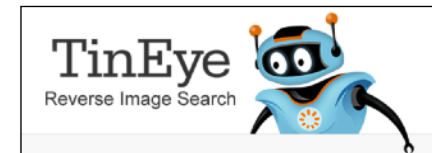
The screenshot shows a Google search interface. At the top, the Google logo is on the left, and navigation links for 'Web', 'Images', 'Groups', 'News', 'Froogle', 'Local', and 'more »' are on the right. A search bar contains the text 'Geßner Gattungsbegriff Idyllendarstellung'. Below this, a second search bar contains 'paranoide vorolympische Kraftmeierei'. The search results are displayed under the heading 'Web' and show two results for the search term 'paranoide vorolympische Kraftmeierei' (0,23 Sekunden). The first result is from 'Tibet: Peking schlägt Protest nieder - Brandherd im Zeichen des ...' and the second is from 'tagesanzeiger.ch: Nichts verpassen - Startseite'. A note at the bottom of the results area states: 'Um Ihnen nur die treffendsten Ergebnisse anzuzeigen, wurden einige Einträge ausgelassen, die den 2 bereits angezeigten Treffern sehr ähnlich sind. Sie können bei Bedarf [die Suche unter Einbeziehung der übersprungenen Ergebnisse wiederholen.](#)'

Really!



Additional Tools

- Google Scholar
- Google Books
- Scanner, Optical Character Recognition (OCR)
- PicaPica
- Wikiblame
- TinEye & Google image search
- Text Compare
- Similarity Texter
<https://people.f4.htw-berlin.de/~weberwu/simtexter/app.html>



Don't sweep plagiarism under the carpet!



By Banksy

Photo by Abhishek.ujoshi (Own work) [CC BY-SA 3.0 (<http://creativecommons.org/licenses/by-sa/3.0>)], via Wikimedia Commons



Thank you! Hvala vam!
Questions? Vprašanja?

- My homepage:
people.f4.htw-berlin.de/~weberwu/
- My blog:
copy-shake-paste.blogspot.com
- VroniPlag Wiki:
vroniplag.wikia.org/de/wiki/Home
- TeSToP report:
<https://link.springer.com/article/10.1186/s41239-020-00192-4>



(c) 2018 HTW Berlin /
Nikolas Fahlbusch

